

بایواستراتیگرافی سازند تیرگان در برش‌های چینه‌شناسی ناویا-رباط عشق (جنوب غرب بجنورد) و قزل‌قان (شمال بجنورد) و مقایسه آن‌ها با یکدیگر

نسیم ریاحی^۱، عباس صادقی^{(۲)*}، محمدحسین آدابی^۳ و حسین کامیابی شادان^۴

۱. کارشناسی ارشد چینه‌شناسی و فسیل‌شناسی، گروه زمین‌شناسی، دانشکده علوم زمین، دانشگاه شهید بهشتی
۲. استاد گروه زمین‌شناسی، دانشکده علوم زمین، دانشگاه شهید بهشتی
۳. استاد گروه زمین‌شناسی، دانشکده علوم زمین، دانشگاه شهید بهشتی
۴. دکتری چینه‌شناسی و فسیل‌شناسی، مدیریت اکتشاف شرکت ملی نفت ملی ایران

تاریخ دریافت: ۹۸/۱۲/۱۲

تاریخ پذیرش: ۹۹/۰۲/۰۲

چکیده

به منظور مطالعات بایواستراتیگرافی سازند تیرگان در ناحیه کپه‌داغ غربی، دو برش چینه‌شناسی سطح‌الارضی ناویا-رباط عشق در جنوب غرب بجنورد و قزل‌قان در شمال بجنورد انتخاب و ۲۳۰ نمونه برداشت شد. ضخامت سازند تیرگان در دو برش ناویا-رباط عشق و قزل‌قان به ترتیب ۲۳۷ و ۱۹۲ متر است و از لحاظ لیتوژئی به طور عمده از سنگ آهک ضخیم‌لایه تا گاه متوسط لایه بهرنگ خاکستری تا کرم تشکیل شده است. مرز زیرین آن در برش ناویا-رباط عشق با سازند زرد-شوریجه هم‌شیب و همراه با تغییرات لیتوژئی واضح است اما در برش قزل‌قان به دلیل قرارگیری در هسته تاقدیس نامشخص است. مرز بالایی در برش ناویا-رباط عشق با سازند آبدراز ناپیوستگی فرسایشی و در برش چینه‌شناسی قزل‌قان با سازند سرچشم‌های هم‌شیب و پیوسته است. در مطالعات بایواستراتیگرافی ضمن تشخیص ۵۸ گونه متعلق به ۶۸ جنس از فرامینیفرها، دو بایوزون زیر‌شناسایی شده است.

1. *Palorbitolina lenticularis* Taxon Range Zone
2. *Novalesia producta-Orbitolina* spp. assemblage zone

بر اساس بایوزون‌های مذکور سن سازند تیرگان در هر دو برش مورد مطالعه بارمین-آپسین پیشین تعیین شده است. مقایسه سازند تیرگان در دو برش قزل‌قان و ناویا-رباط عشق تفاوت‌هایی را با یکدیگر نشان می‌دهد اما از لحاظ بایواستراتیگرافی بجز اختلاف ضخامت در بایوزون‌ها، تفاوت قابل توجهی با یکدیگر ندارند.

واژه‌های کلیدی: بایواستراتیگرافی، سازند تیرگان، ناویا-رباط عشق، قزل‌قان، بجنورد، کپه‌داغ غربی.

مقدمه

کامل‌ترین رسوبات کرتاسه در ایران در این منطقه وجود دارد. سنگ‌های رسوبی کرتاسه و دوران سوم در حاشیه جنوبی دارای ضخامت کمی هستند. واحدهای سنگی دوره کرتاسه در منطقه کپه‌داغ به ترتیب از قدیم به جدید شامل (۱۳۷۳) انجام شد و طی این مطالعات مشخص شد که

1. Disconformity

* نویسنده مرتبط: a-sadeghi@sbu.ac.ir

و شيل آهکي، تشکيل شده است. ستيبراي زياد لايها و همین طور تراكم و سختي سنگ آهکها سبب شده تا اين سازند از واحدهای چهره ساز بين رديفهای آواري سخنگ سازند شوريجه/زرد و نهشته های شيلي-مارني سرچشميه باشد. علاوه بر تغييرات ضخامت و ليتولوژي سازند تيرگان در مناطق مختلف حوضه کپه داغ، مرز زيرين و بالاي آن نيز از جايی به جاي ديجر در اين حوضه متغير مي باشد.

مطالعات بايواستراتيگي شوريجه/زرد تيرگان سن هاي کم و بيش متغيری را از نئوکومين تا بارمين ارياهي كرده است. به طوري که (Kalantari 1969) سن اين سازند را در برش نمونه نئوکومين-آپسين، در برش هاي رادكان، بارو و دادانلو در نزديكي دشت مشهد-قوچان نئوکومين و در برش گليان در جنوب شيروان بارمين گزارش كرده است. جمالی (1390) در شرق کپه داغ سن اين سازند را در برش حمام قلعه اوخر هوتووين پسین؟ بارمين و در برش هاي باغك، مزدروان و چاه خانگيران ۳۲ بارمين و عباسی و همكاران (1392) در برش مسى تو واقع در غرب کپه داغ بارمين پيشين-آپسين پيشين مشخص كرده اند.

با توجه به اهميت سازند تيرگان به عنوان سنگ مخزن کربناته و با عنایت به تغييرات آن در جهت جانبي و عمودي و به منظور تكميل زنجيره مطالعاتي اين سازند، دو برش چينه شناسی رباط عشق و قزل قان به ترتيب در شمال و جنوب-غرب بجنورد در اين پژوهش مورد مطالعه دقیق بايواستراتيگي قرار گرفته است.

موقعیت جغرافیایی برش های مورد مطالعه

برش چينه شناسی ناويا-رباط عشق با مختصات قاعده اى ۳۷° عرض شمالی و ۵۶° طول شرقی و در ۳۵ کيلومتری جنوب غرب شهر آشخانه قرار دارد (شکل ۱). برش مورد مطالعه در نزديک جاده چمن بيد به سخواست و در شمال-غرب روزتاي ناويا قرار دارد. راه دسترسی به برش مذكور از طریق آشخانه به چمن بيد و رباط قره بیل امكان پذیر است. از آشخانه پس از طی ۳۰ کيلومتر در جاده نوریبور ابتداي روزتاي جوزك و پس از ۳۰ کيلومتر جاده خاکي به سمت جنوب جدا مي شود که

سازندهای: شوريجه/زرد، تيرگان، سرچشميه، سنگانه، آيتامير، آبدراز، آبتاخ، نيزار و کلات است.

روستاي تيرگان واقع در ۳۹ کيلومتری جنوب شرق دره گز قرار دارد که نام سازند برگرفته از آن است. در پنج کيلومتری غرب همین روزستا، در کوه تيرگان برش الگو به ضخامت ۷۷۸ متر قرار دارد اما به دليل راه دسترسی دشوار، برش مرجعی نيز برای اين سازند در غرب کپه داغ، در جنوب شرق روزتاي جوزك در نظر گرفته شده است.

ضخامت سازند تيرگان به سمت شرق و جنوب شرق کاهش مي يابد به طوري که ضخامت آن در برش تيرگان (برش الگو) از ۷۷۸ متر به ۱۰ متر در برش شورآب مي رسد که اين برش، شرقی ترین برش برداشت شده در خاک ايران است (افشار حرب، ۱۳۷۳). در غرب کپه داغ، جنوب جاده اصلي گنبد کاووس-جنورد سازند تيرگان به سرعت نازک مي شود و در توالی جوزك ضخامت آن به ۳۱۰ متر مي رسد، از بخش جوزك به طرف جنوب-جنوب شرق سازند تيرگان بیرون زدگي ندارد (خسرو تهراني، 1395).

از سازند تيرگان به عنوان واحد سنگي پايدار پنهنه کپه داغ ياد مي شود، ولی گاهي اين سازند در برش هاي وجود ندارد. برای مثال در ناحيه جاجرم سازند تيرگان وجود ندارد و سبب شده تا سنگ آهک کلات با سن ماستريشتين بر روی ماسه سنگ هاي سازند شوريجه قرار گيرد و يا در ۸۲ کيلومتری گنبد کاووس (ناحية آرموتلی) سازند آيتامير بر روی سازند شوريجه قرار دارد و از سازند تيرگان اثری دیده نمي شود. در برش جوزك سازند تيرگان (آپسين زيرين) نيز توسعه يافته است ولی به طور مستقيم توسط سازند آبدراز پوشیده مي شود. چنین تغييرات رسوب گذاري و نبودهای رسوبی توسط گسلی با امتداد کم و بيش جنوب غربی-شمال شرقی کنترل مي شود. در کپه داغ مرکزي-غربی رسوبات جوانتر از سازند خانگيران در ناوديس هاي شيخ، تکل کوه، آتمير، جوزك و جاجرم تشکيل شده اند (خسرو تهراني، 1395).

سازند تيرگان به طور عمده از سنگ آهک هاي ستيبر لايه تا توده اى و سنگ آهک هاي اوربيتونين دار و زیست آواري با ميان لايهاي ناچيزی از سنگ آهک هاي مارني، مارن،

اطلاعات اولیه و بررسی شواهد زمین‌شناختی در صحراء، دو برش مذکور انتخاب شد. در مجموع ۲۳۰ نمونه بصورت سیستماتیک در فواصل ۳ متر و در محل تغییر رخساره‌ها و مرزهای واحد سنگی در فواصل کمتر برداشت شد. از تمامی نمونه‌های برداشت شده در آزمایشگاه مقاطع نازک تهیه و در زیر میکروسکپ دوچشمی مورد مطالعه قرار گرفتند.

پس از شناسایی میکروفسیل‌ها از آن‌ها عکسبرداری صورت گرفت و سپس ستون چینه‌شناسی و جدول گسترش زمانی میکروفسیل‌ها ترسیم و زون‌بندی زیستی انجام گرفت. در شناسایی میکروفسیل‌ها از منابعی چون، Henson (1948), Schroeder (1965), Loeblich and Tappan (1988)

استفاده شد. در پایان دو برش مورد مطالعه نیز با هم

مقایسه شده‌اند.

پس از هشت کیلومتر به روستای ناویا می‌رسد. قاعده برش در دو کیلومتری شمال شرق این روستا قرار دارد.

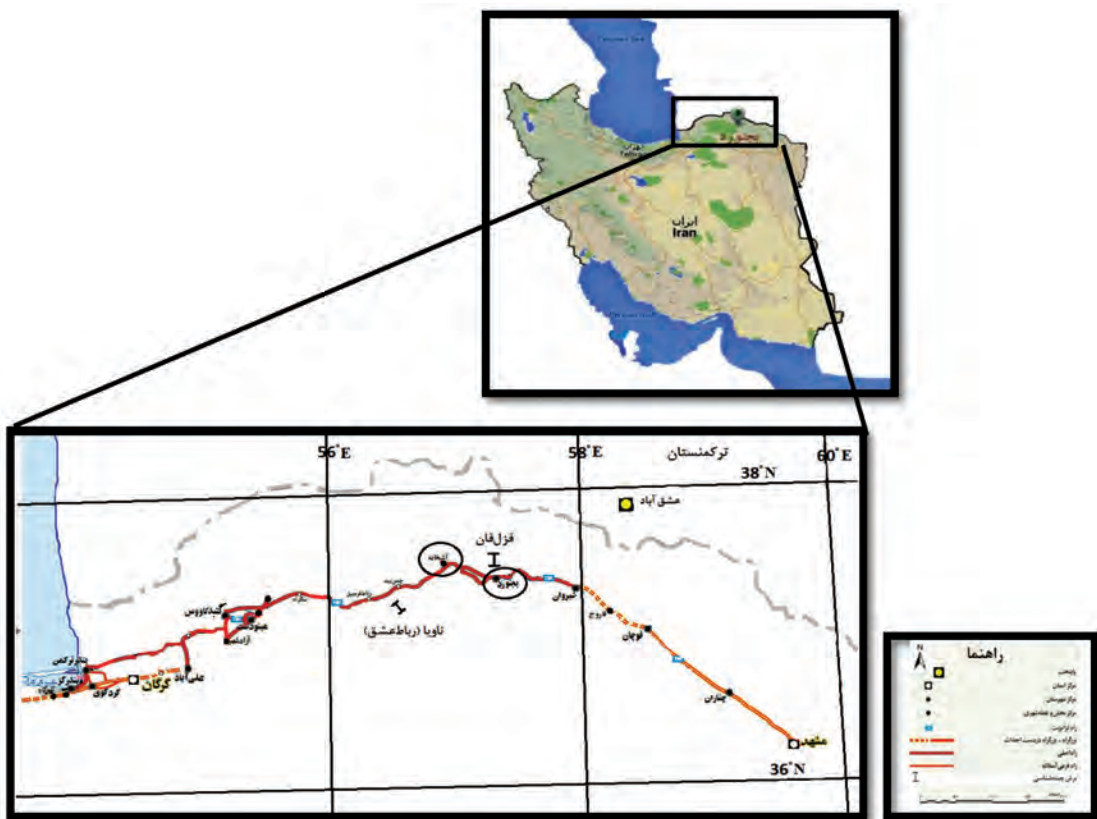
برش قزلقان با مختصات قاعده‌ای "۳۷° ۳۸' ۲۴" ۵۷° ۲۴' ۵۴/۵" طول شرقی در ۵۰ کیلومتری شمال شرق جاده مانه-سلقان و ۶۰ کیلومتری شرق شهر آشخانه و همین‌طور در حدود ۳۵ کیلومتری شمال شهرستان بجنورد واقع شده است (شکل ۱).

با طی ۴۵ کیلومتر به سمت شمال از شهرستان بجنورد و پس از گذر از روستاهای حصار، آق‌تپه و سورک به روستای قزلقان خواهیم رسید که برش انتخاب شده در جنوب غربی همین روستا قرار دارد.

روش مطالعه

به منظور مطالعات بایوستراتیگرافی سازند تیرگان

در دو برش ناویا-رباط عشق و قزلقان پس از گردآوری



شکل ۱. موقعیت جغرافیایی و راه‌های دسترسی به برش‌های مورد مطالعه (اقتباس از نقشه وزارت راه و ترابری با مقیاس ۱:۲۵۰۰۰، ۱۳۸۷)

بحث

لیتواستراتیگرافی

برش چینه‌شناسی ناویا-رباط عشق

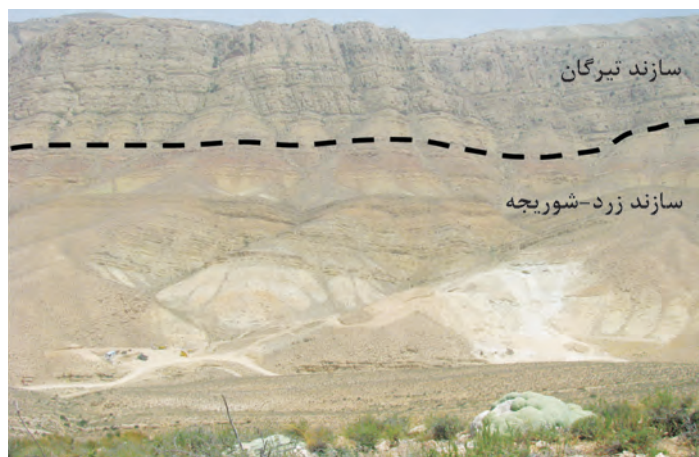
از سازند تیرگان در این برش فقط ۱۹۲ متر آن بروزند دارد

و مابقی آن در هسته تاقدیس از نظر پنهان است به طوری که مرز زیرین آن ناپیدا است اما مرز بالای آن با سازند سرچشمه به صورت هم‌شیب و پیوسته است (شکل ۳).

از لحاظ لیتو‌لوژی سازند تیرگان در این برش به‌طور عمده از سنگ آهک‌های ضخیم‌لایه‌ی تا تودهای و سنگ آهک‌های اوربیتولین‌دار و باپوکلاستی پراز درز و شکاف‌های پرشده از کلسیت با میان‌لایه‌های ناچیزی از سنگ‌آهک‌های مارنی، پوسته‌های دو‌کفه‌ای، خارپوست و برآکیوپود تشکیل شده است. ضخامت زیاد لایه‌ها و به ویژه تراکم و سختی سنگ‌آهک‌ها سبب شده است تا این سازند بصورت یک واحد صخره‌ساز درآید (شکل ۴).

سازند تیرگان در این برش ۲۳۷ متر ضخامت دارد و مرز زیرین آن با سازند زرد-شوریجه هم‌شیب و همراه با تغییرات سنگ‌شناسی واضح است به طوری که رسوبات تخریبی راس سازند زرد-شوریجه به دولومیت‌های قاعده سازند تیرگان تغییر می‌یابد و مرز بالای آن با سازند آبدراز نیز از نوع ناپیوستگی فرسایشی است (شکل ۲).

سازند تیرگان در این برش به‌طور عمده در قاعده با ۳۰ متر دولومیت نازک تا متوسط لایه بهرنگ کرم شروع می‌شود که بر روی آن ابتدا ۲۴ متر سنگ آهک دولومیتی شده ضخیم لایه بهرنگ خاکستری و سپس ۱۸۳ متر سنگ آهک‌های خاکستری تا کرم متوسط تا ضخیم لایه قرار دارد.



شکل ۲. نمایی از مرز زیرین سازند تیرگان با سازند زرد-شوریجه در برش ناویا-رباط عشق (نگاه به سمت شمال)



شکل ۳. مرز بالای سازند تیرگان با سرچشمه در برش چینه‌شناسی قزل‌قان (نگاه به سمت غرب)



شکل ۴. نمایی از سنگ آهک‌های ضخیم لایه به رنگ کرم تا خاکستری در قاعده برش سازند تیرگان در مرکز تاقدیس قزل‌قان (نگاه به سمت غرب)

قابل مطالعه بوده است. مرز بالایی آن با خاتمه مجموعه *Palorbitolina lenticularis* همزیست زیر و ظهور گونه *Palorbitolina lenticularis* Taxon و شروع بایوزون Range Zone تعريف می‌شود. فرامینیفرهای شناسایی شده در این بایوزون به شرح زیر است:

Novalesia producta; *N. cornucopia*; *Charentia cuvillieri*; *Mayncina bulgarica*; *Rectodictyoconus giganteus*; *Rumanoloculina robusta*; *R. ponticuli*; *R. psedominima*; *Istriloculina elliptica*; *Valserina broennimanni*; *Paracoskinolina hispanica*; *Paleodictyoconus reicheli*; *Debarina hahonnerensis*; *Vercorsella wintereri*; *Pseudocyclammina hedbergi*; *Lenticulina* sp.; *Melathrokerion* sp.; *Arenobulimina* sp.; *Haplophragmium* sp.; *Glomospira* sp.; *Nezzazata* sp.; *Textularia* sp. and *Orbitolina* spp.

در این بایوزون علاوه بر فرامینیفرهای کفzی فوق، جلبک‌های سبز مرجان‌ها، گاستروپودا، بریوزوا و استراکد نیز وجود دارد.

با توجه به مجموعه فسیلی فوق و حضور فرامینیفرهای *Rectodictyoconus giganteus* شاخص بارمین نظیر *Valserina broennimanni* و *Palorbitolina* این بایوزون در زیر اولین ظهور گونه *Palorbitolina lenticularis* و بایوزون *lenticularis*

بایواستراتیگرافی

در مطالعات بایواستراتیگرافی سازند تیرگان در مجموع ۱۵۲ مقطع نازک در هر دو برش قزل‌قان و ناویا-رباط عشق مورد مطالعه قرار گرفته است که منجر به تشخیص ۶۸ جنس و ۵۸ گونه فرامینیفر کفzی و دو زون زیستی به شرح زیر شده است (شکل‌های ۵ و ۶).

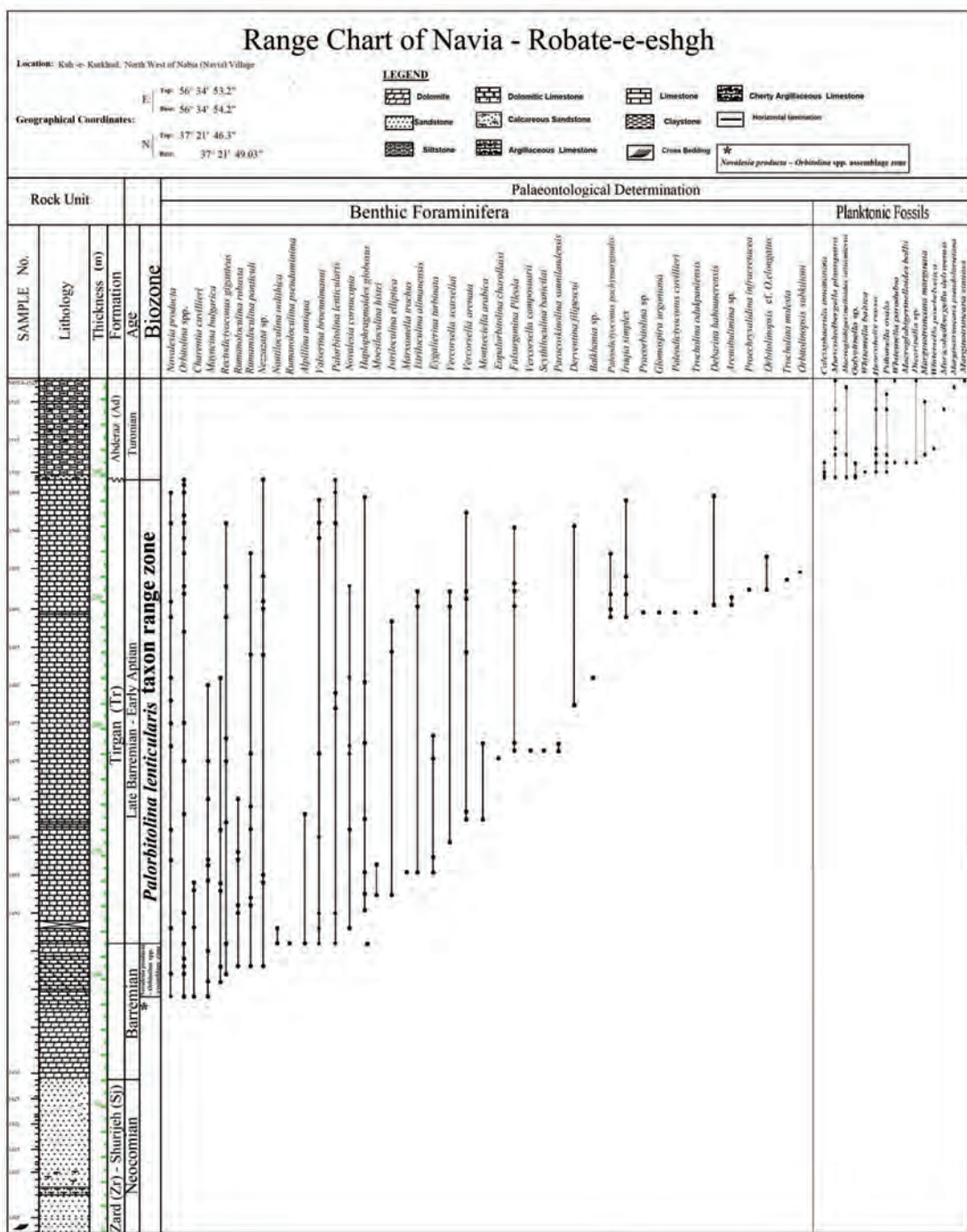
در شناسایی فرامینیفرها از منابعی چون Hottinger (1967), Schroeder (1965), Loeblich and Tappan (1988), Vanneau (1980), Vanneau & Silvia (1995), Cherchi and Schroeder (2013), Schroder et al. (2010) استفاده شده است.

بایوزون‌های معروفی شده در سازند تیرگان در دو برش مورد مطالعه

-*Novalesia producta*-*Orbitolina* spp. assemblage zone

این بایوزون بر اساس مجموعه همزیست زیر شناسایی و معروفی شده است. مرز زیرین آن در هر دو برش نامشخص است به دلیل آنکه قاعده سازند تیرگان در برش قزل‌قان بواسطه قرارگیری در هسته تاقدیس، ناپیدا و در برش ناویا-رباط عشق به دلیل دارا بودن رخساره دولومیتی فاقد فسیل است و بر همین اساس از ضخامت این بایوزون در دو برش ناویا-رباط عشق و قزل‌قان به ترتیب ۳۰ و ۳۲ متر

1. Dasycladacean



شکل ۵. گسترش زمانی میکروفسیل‌ها و زون‌بندی زیستی در برش چینه‌شناسی ناویا (نابیا)-رباط عشق

با سن بارمین پسین-آپسین پیشین، Taxon Range Zone در حوضه تتیس تعریف شده است. به عبارتی مرز زیرین و بالایی این بایوزون منطبق بر

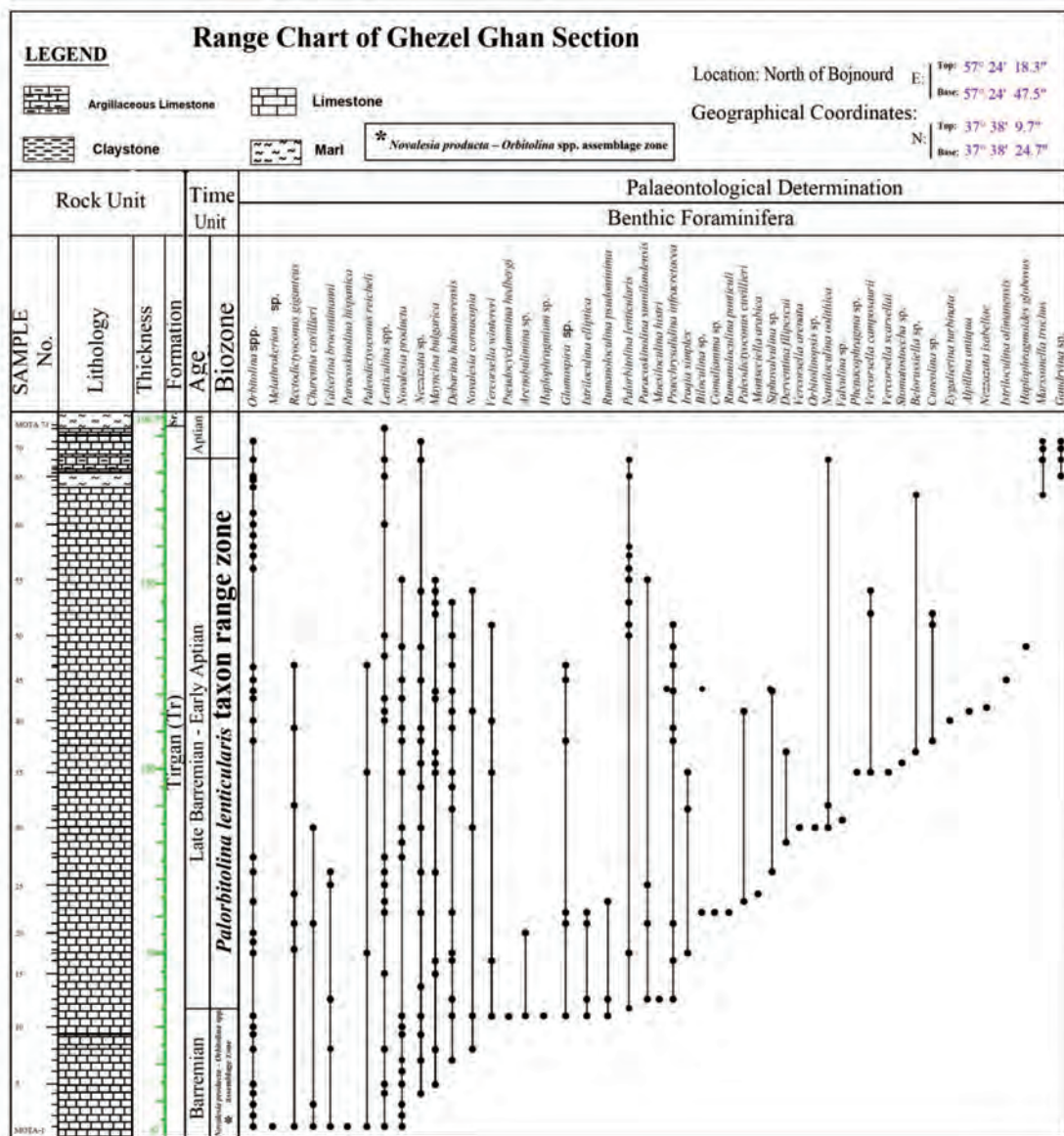
شروع و خاتمه گونه *P. lenticularis* است. بایوزون نامبرده

در هر دو برش چینه‌شناسی مورد مطالعه شناسایی شده

سن این بایوزون بارمین پیشنهاد می‌شود.

-*Palorbitolina lenticularis* Taxon Range Zone

این بایوزون بر مبنای ظهور و انقراض تاکسون شاخص



شکل ۶. گسترش زمانی میکروفسیل‌ها و زون‌بندی زیستی در برش چینه‌شناسی قزل قان

ponticuli; Trocholina odukpaniensis; Marssonella trochus; Novalesia producta; Valserina broennimanni; Haplophragmoides globosus; Moesilculina histri; Mayncina bulgarica; Marssonella sp.; Charentia cuvilliieri; Istriloculina alimanensis; Egalierina turbinata; Vercorsella scarsellai; V. arenata; V. composita; Pseudocyclammina hedbergi; Eopalorbitolina charollaisi; Scythiloculina bancilai; Falsurgonina pileola; Paracoskinolina sunnilandensis; Derventina filipescui; Paleodictyoconus pachymarginalis; Paleodictyoconus sp.; Iraquia simplex; Glomospira

است. این بایوزون بخش عمده‌ای از سازند تیرگان را در هر دو برش به خود اختصاص داده است و سترای آن در دو برش چینه‌شناسی ناویا-رباط عشق و قزل قان به ترتیب ۱۸۳ و ۱۴۹ متر است.

در بین جامعه فسیلی هم‌زیست، در بایوزون مذکور، مهم‌ترین فرامینیفرهای کفرزی عبارتند از:

Palorbitolina lenticularis; Alpilla antiqua; Nautiloculina oolithica; Rectodictyoconus giganteus; Rumanoloculina pseudominima; R. robusta; R.

دولومیتی در قاعده برش قزلقان به دلیل ناپیدا بودن مرز زیرین و قرارگیری آن در هسته ناویدیس قابل رویت نیست. بر روی سنگ آهک‌های دولومیتی در برش ناویا ۱۸۳ متر سنگ آهک‌های خاکستری تا کرم متوسط تا ضخیم لایه وجود دارد. سازند تیرگان در این برش فاقد میان‌لایه‌های مارن و یا آهک‌رسی است در حالی که نزدیک به راس سازند تیرگان در برش قزلقان ۳/۸ متر مارن سبز رنگ و در ادامه ۳/۴ متر سنگ آهک‌رسی نازک لایه به رنگ سبز دیده می‌شود. از لحاظ لایه‌بندی و رنگ نیز سازند تیرگان در برش قزلقان از لایه‌های بسیار ضخیم تا ضخیم برقنگ خاکستری تیره تا روشن تشکیل شده است در حالیکه در برش ناویا لایه‌ها به طور عمده ضخیم و رنگ آنها خاکستری روشن است.

مرز زیرین سازند تیرگان در برش ناویا با سازند زرد-شوریجه از نوع هم‌شیب همراه با گستگی واضح در لیتولوژی است ولی در برش قزلقان به دلیل قرارگیری در هسته تاقدیس این مرز نامشود و نامشخص است. مرز بالایی سازند تیرگان در برش ناویا با سازند آبدراز، از نوع ناپیوستگی فرسایشی همراه با یک نبود رسوبی در حدفاصل آپسین پسین تا تورونین است، به طوری که میکروفسیل‌های شناسایی شده (شکل ۵) در قاعده سازند آبدراز سن تورونین را نشان می‌دهد. مرز بالایی سازند تیرگان در برش چینه‌شناسی قزلقان با سازند سرچشمه هم‌شیب است.

- سازند تیرگان در هر دو برش مورد مطالعه از محتویات فسیلی کم و بیش یکسانی برخوردار است که منجر به دو باپوزون زیر در هر دو برش شده است و تنها اختلاف موجود مربوط به ضخامت باپوزون‌هاست به طوری که باپوزون یک در دو برش ناویا و قزلقان بهترتب ۲۱ و ۳۲ متر و باپوزون دو در دو برش مذکور بهترتب ۱۸۳ و ۱۴۸/۵۶ متر ضخامت دارند (جدول ۱) و (شکل ۷).

1. *Palorbitolina lenticularis* Taxon Range Zone
2. *Novalesia producta-Orbitolina* spp. assemblage zone

- سن سازند تیرگان بر اساس محتویات فسیلی و باپوزون‌های شناسایی شده در هر دو برش یکسان و بارمین-آپسین پیشین است

urgoniana; *Debarina hahounerensis*; *Praechrysalidina infracretacea*; *Orbitolinopsis cf. elongatus*; *O. subkiliani*; *Nezzazata isabella*; *Cuneolina* sp.; *Lenticulina* sp.; *Textularia* sp.; *Melathrokerion* sp.; *Valvulina* sp.; *Balkhania* sp.; *Nodosaria* sp.; *Guadryina* sp.; *Siphovalvulina* sp.; *Praeorbitolina* sp.; *Belorussiella* sp.; *Arenobulimina* sp.; *Dukhania* sp. and *Orbitolina* spp.

در این باپوزون علاوه بر فرامینیفرهای فوق، جلبک‌های سبز کلاداسی، برویزا، گاستروپودا و استراکد نیز وجود دارد. بر اساس مجموعه فسیلی فوق و با توجه به حضور *Palorbitolina lenticularis* به عنوان یک فرامینیفر کفرزی بزرگ که در مقیاس حوضه تیس شاخص بارمین پسین-آپسین پیشین می‌باشد (Hardenbol et al., 1988) (Velic, 1988); (Vilas et al., 1995); (Shroeder et al., 2010)، بنابراین سن این باپوزون بارمین پسین-آپسین پیشین مشخص شده است.

این باپوزون با باپوزون (*Palorbitolina lenticularis*) Taxon Range Zone (Husinec et al, 2000) با سن Barminian پسین-آپسین پیشین قابل تطابق است.

سن سازند تیرگان

سن سازند تیرگان در هر دو برش مورد مطالعه ناویا-رباط عشق و قزلقان بر اساس زون‌های زیستی شناسایی شده *Novalesia producta-Orbitolina* spp. assemblage *Palorbitolina lenticularis* Taxon Range zone و *Zone* و مجموعه همزیست موجود در آن‌ها بارمین-آپسین پیشین تعیین شده است.

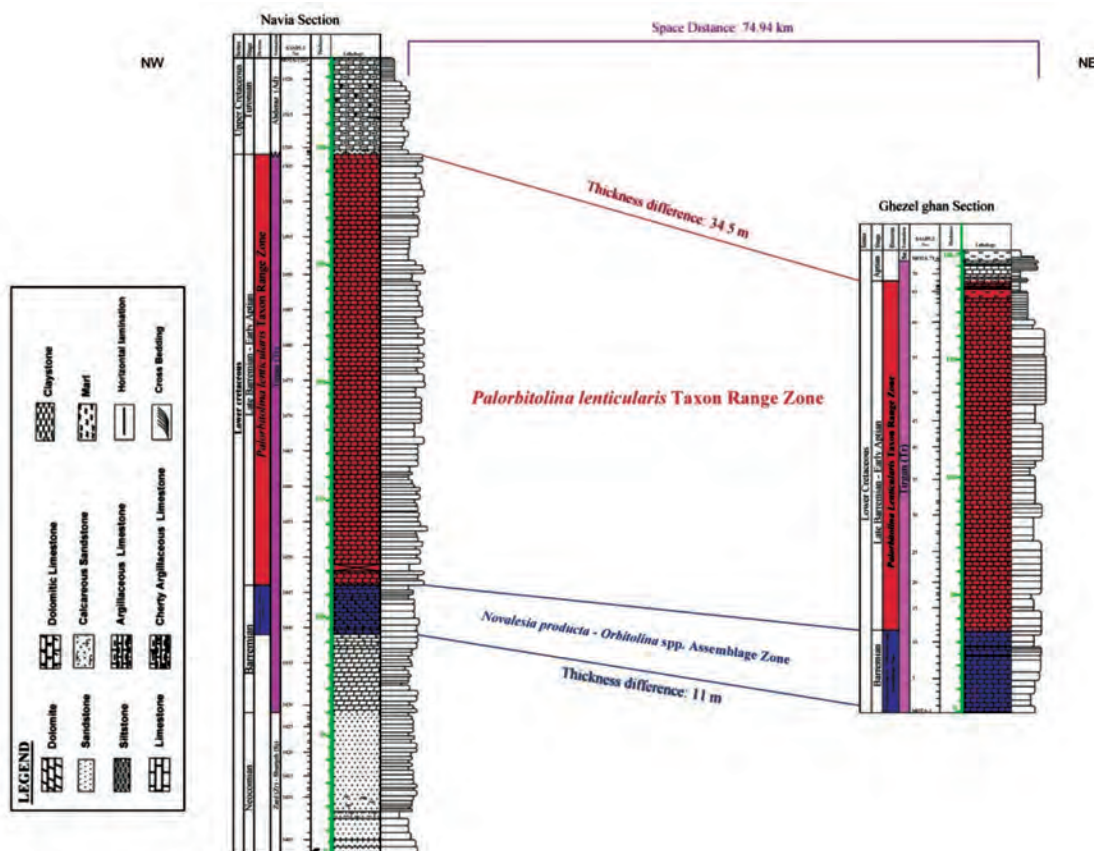
مقایسه سازند تیرگان در دو برش چینه‌شناسی مورد مطالعه

در مقایسه سازند تیرگان در دو برش ناویا-رباط عشق و قزلقان نتایج زیر حاصل شده است.

- لیتولوژی سازند تیرگان در برش ناویا در قاعده شامل ۳۰ متر دولومیت نازک تا متوسط لایه بهرنگ کرم تا زرد روشن است که در ادامه به حدود ۲۴ متر سنگ آهک دولومیتی شده ضخیم لایه و خاکستری رنگ تبدیل شده است. این واحد دولومیتی و سنگ آهک

جدول ۱. سن و ضخامت بایوزون‌های شناسایی شده در دو برش مورد مطالعه

Biozone	Age		Thickness (m)	
	Navia	Qezelghan	Navia	Qezelghan
<i>Palorbitolina lenticularis</i> taxon range zone	Late Barremian-Early Aptian		183	148/56
<i>Novalesia producta</i> - <i>Orbitolina</i> spp. assemblage zone	Barremian		21	32



شکل ۷. نگاره تطبیق بایواستراتیگرافی سازند تیرگان در برش‌های مورد مطالعه

نتیجه‌گیری

مرز زیرین سازند تیرگان در برش ناویا با سازند زرد-شوریجه هم‌شیب و همراه با تعییرات لیتولوژی واضح است به‌طوری‌که ماسه‌سنگ‌های سازند زرد-شوریجه به‌طور قاطع به دولومیت‌های قاعده سازند تیرگان تعییر می‌یابد ولی در برش قزل‌قان مرز زیرین به دلیل قرارگیری در هسته تاقدیس ناپیدا و نامشخص است. مرز بالایی سازند تیرگان در برش ناویا با سازند آبدراز ناپیوسته فرسایشی است ولی در برش قزل‌قان با سازند سرچشم‌هه هم‌شیب و پیوسته است.

در مطالعات بایواستراتیگرافی سازند تیرگان در دو برش چینه‌شناسی ناویا-رباط عشق و قزل‌قان و مقایسه آنها با یکدیگر نتایج زیر حاصل شده است. ضخامت سازند تیرگان در برش ناویا ۲۳۷ متر و در برش قزل‌قان به دلیل قرارگیری قاعده آن در هسته تاقدیس نا مشخص و ضخامت رخمنون شده آن ۱۹۲ متر است. لیتولوژی سازند تیرگان در هر دو برش مورد مطالعه به‌طور عمده از سنگ آهک‌های ضخیم لایه تاگاه متوسط لایه به رنگ خاکستری تا کرم تشکیل شده است.

Aptian biostratigraphic key-interval at the southern margin of the Neo-Tethys. Cretaceous Research, 39, 70-77.

- Hardenbol, J., and Vail, P. R., P. R., 1988, Mesozoic and Cenozoic chronostratigraphy and cycles of sea-level change, in Wilgus, C. K., Kendall, C. G. St. C., Posamentier, H. W., Ross, C. A., and Van Wagoner, J. C., eds., Sea Level Changes-An Integrated Approach: Tulsa, Society of Economic Paleontologists and Mineralogists Special Publication 42, 71-108.
- Henson, F. R. S. 1948. Larger imperforate foraminifera of southwestern Asia. Families Lituolidae, Orbitolinidae and Meandropsinidae. British Museum (Nat. Hist.), London. xi, 585-670.
- Hottinger, L. 1967: Foraminifères imperforés du Mésozoïque marocain.-Notes Mém. Serv. géol. Maroc, 209, 1-168.
- Husinec, A., Velić, I., Fucek, L., Vlahović, I., Matičec, D., Ostrić, N., & Korbar, T., 2000. Mid Cretaceous orbitolinid (Foraminiferida) record from the islands of Cres and Losinj (Croatia) and its regional stratigraphic correlation. Cretaceous Research, 21(1), 155-171.
- Kalantari, A., 1969. Foraminifera from the middle Jurassic-Cretaceous successions of Kopet-Dagh region (NE Iran). National Iranian Oil Company, Geological Laboratories Publication 3:1-298.
- Loeblich Jr., A.R., Tappan, H., 1988. Foraminiferal Genera and their Classification (2 volumes). Van Nostrand Reinhold, New York, 970.
- Schroeder, R., van Buchem, F. S., Cherchi, A., Baghbani, D., Vincent, B., Immenhauser, A., and Granier, B., 2010. Revised orbitolinid biostratigraphic zonation for the Barremian-Aptian of the eastern Arabian Plate and implications for regional stratigraphic correlations. GeoArabia Special Publication, 4(1), 49-96.

در مطالعات بايواستراتيگرافی ضمن تشخیص ۵۸ گونه در متعلق به ۶۸ جنس از فرامینیفرهای بنتیک دو بایوزون زیر شناسایی و معروفی شد:

1. *Palorbitolina lenticularis* Taxon Range Zone
2. *Novalesia producta*-*Orbitolina* spp. assemblage zone

بر اساس بایوزون های فوق و مجموعه فسیلی شناسایی شده در آن ها سن سازند تیرگان در هر دو برش مورد مطالعه بارمین-آپسین پیشین تعیین می شود.

در مقایسه سازند تیرگان در دو برش قزل قان و ناویا-رباط عشق سازند تیرگان به لحاظ لیتولوژی و لایه بندی و رنگ تفاوت هایی را در دو برش مذکور با یکدیگر نشان می دهد. همچنین مز بالایی آن در دو برش به طور کامل متفاوت است به طوری که در برش قزل قان با سازند سرچشم همشیب و پیوسته و در برش ناویا با سازند آبدراز ناپیوستگی فرسایشی است. از لحاظ بايواستراتيگرافی بجز اختلاف در ضخامت بایوزون ها، اختلاف قابل توجه دیگری دیده نمی شود.

منابع

- افشار حرب، ع.، ۱۳۷۳. زمین شناسی کپه داغ. طرح تدوین کتاب زمین شناسی ایران، سازمان زمین شناسی کشور، ۲۲۵/۱۱.
- پایگاه اینترنتی سازمان نقشه برداری کشور، آرشیو نقشه های موضوعی، پهنه کپه داغ، از نقشه وزارت راه و ترابری با مقیاس ۱:۲۵۰۰۰۰، ۱۳۸۷: <http://www.ncc.gov.ir>.
- جمالی، ا.م، ۱۳۹۰. بايواستراتيگرافی و ليتواستراتيگرافی نهشته های کرتاسه زیرین در شرق كپه داغ، پایان نامه دکتری، دانشگاه شهید بهشتی، ۴۴۶.
- خسرو تهرانی، خ.، ۱۳۹۵. چینه شناسی ایران. موسسه چاپ و انتشارات دانشگاه تهران، ۴، ۵۸۲.
- عباسی، ف.، صادقی، ع.، حسینی بزی، م. و موسویان، م.، ۱۳۹۲. بايواستراتيگرافی سازند تیرگان در برش چینه شناسی مسی نو، غرب کپه داغ، مجله پژوهش های دانش زمین، ۱۴؛ ۴، ۹۵-۱۰۸.

- Cherchi, A., and Schroeder, R., 2013. The Praeorbitolina/Palorbitolinoides Association: an

- Schroeder, R., 1965. *Dictyoconus pachymarginalis* n. sp. aus dem Apt des Elburz-Gebirges (Nord-Iran) (Studien über primitive Orbitolinidae III). *Eclogae Geologicae Helvetiae*, 58(2), 976-979.
- Vanneau, A. A., and Silva, I. P., 1995. 10. Biostratigraphy and systematic description of benthic foraminifers from Mid-Cretaceous shallow-water carbonate platform sediments at Sites 878 and 879.
- Vanneau, A.A., 1980. Micropaléontologie, paléoécologie, et sédimentologie d'une plate-forme carbonatée de la marge passive de la Téthys: l'Urgonien du Vercors septentrional et de la Chartreuse (Alpes occidentales) (Doctoral dissertation, Universite Scientifique et Medicale de Grenoble), 267.
- Velic, I. ,1988. Lower Cretaceous benthic foraminiferal biostratigraphy of the shallow-water carbonates of the Dinarides. *Revue de Paléobiologie*, Volume Spécial, 2, 467-475.
- Vilas, L., Masse, J. P., and Arias, C. ,1995. Orbitolina episodes in carbonate platform evolution: the early Aptian model from SE Spain. *Palaeogeography, Palaeoclimatology, Palaeoecology*, 119 (1-2), 35-45.

Plate 1

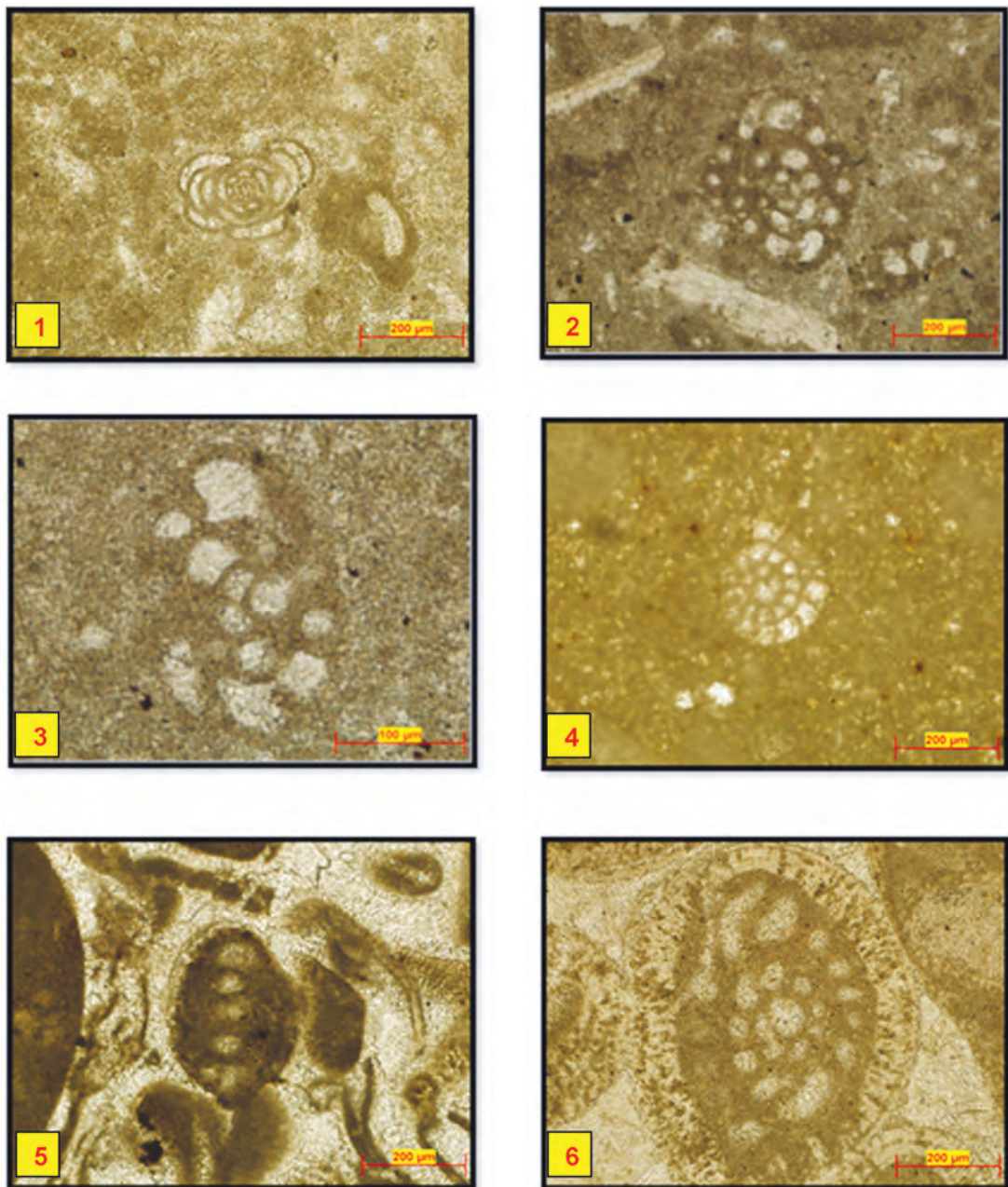


Plate 1:

- 1) *Glomospira urgoniana* Arnaud-Vanneau, 1980
- 2,3) *Debarina hahunnerensis* Fourcade, Raoult and Vila, 1972.
- 4) *Haplophragmoides globosus* lozo, 1944
- 5) *Nautiloculina oolithica* Mohler, 1938
- 6) *Mayncina bulgarica* Laugh, Peybenes & Rey, 1968

Plate 2

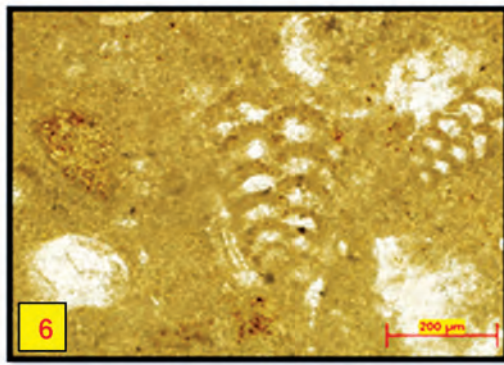
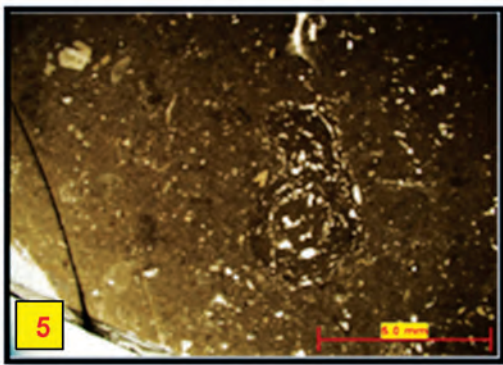
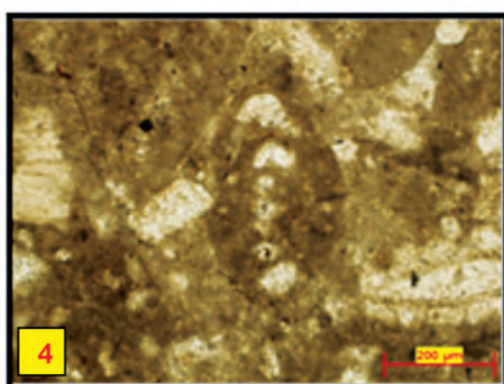
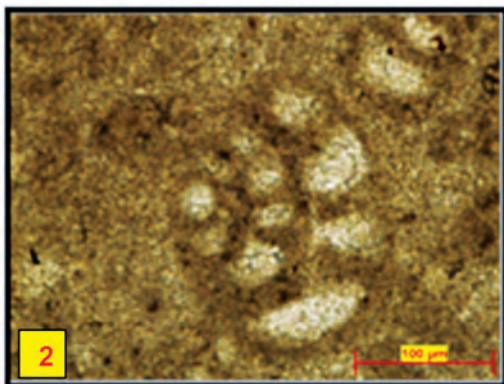
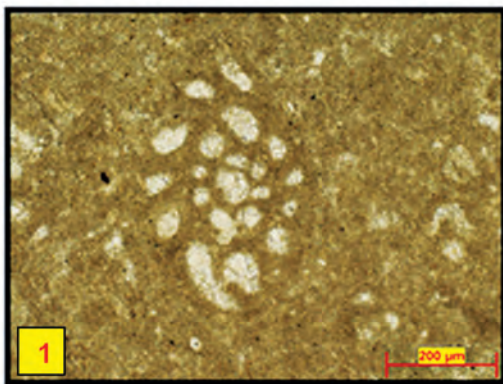


Plate 2:

- 1) *Mayncina bulgarica* Laugh, Peybenes & Rey, 1968
- 2) *Nezzazata isabellae* Arnuad-Vanneau and Sliter (1995)
- 3,4) *Charentia cuvillieri* Neumann, 1965
- 5) *Pseudocyclammina hedbergi* Maync, 1953
- 6) *Novalesia producta* (Magniez, 1972)

Plate 3

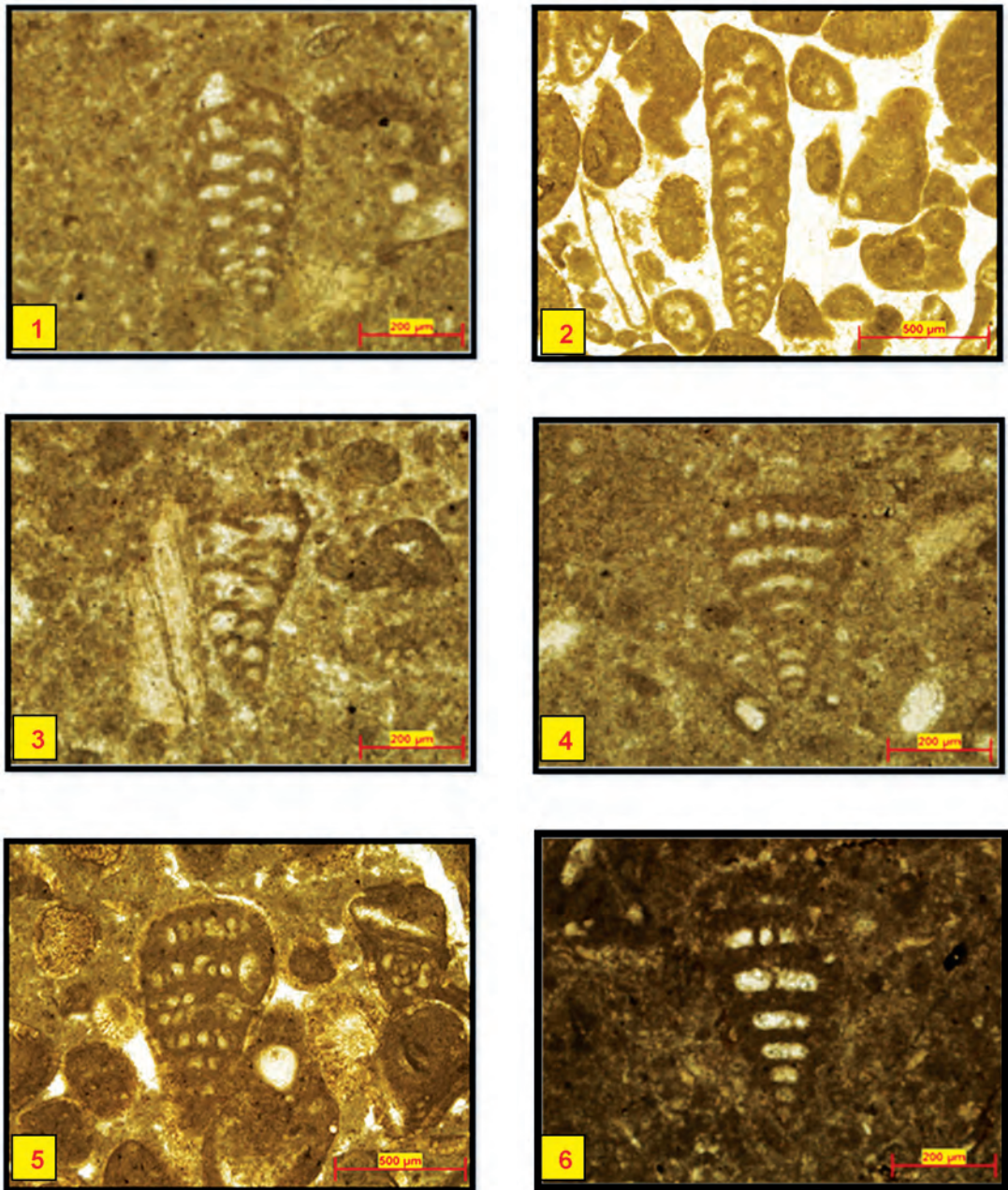


Plate 3:

- 1) *Novalesia producta* (Magniez, 1972)
- 2) *Novalesia cornucopia* Arnaud-Vanneau, 1980
- 3) *Praechrysalidina infracretacea* Luperto Sinni, 1979
- 4) *Vercosella scarsellai* De Castro, 1963
- 5) *Vercosella arenata* Arnaud-Vanneau, 1980
- 6) *Vercosella wintereri* Arnaud-Vanneau and Sliter, 1995

Plate 4

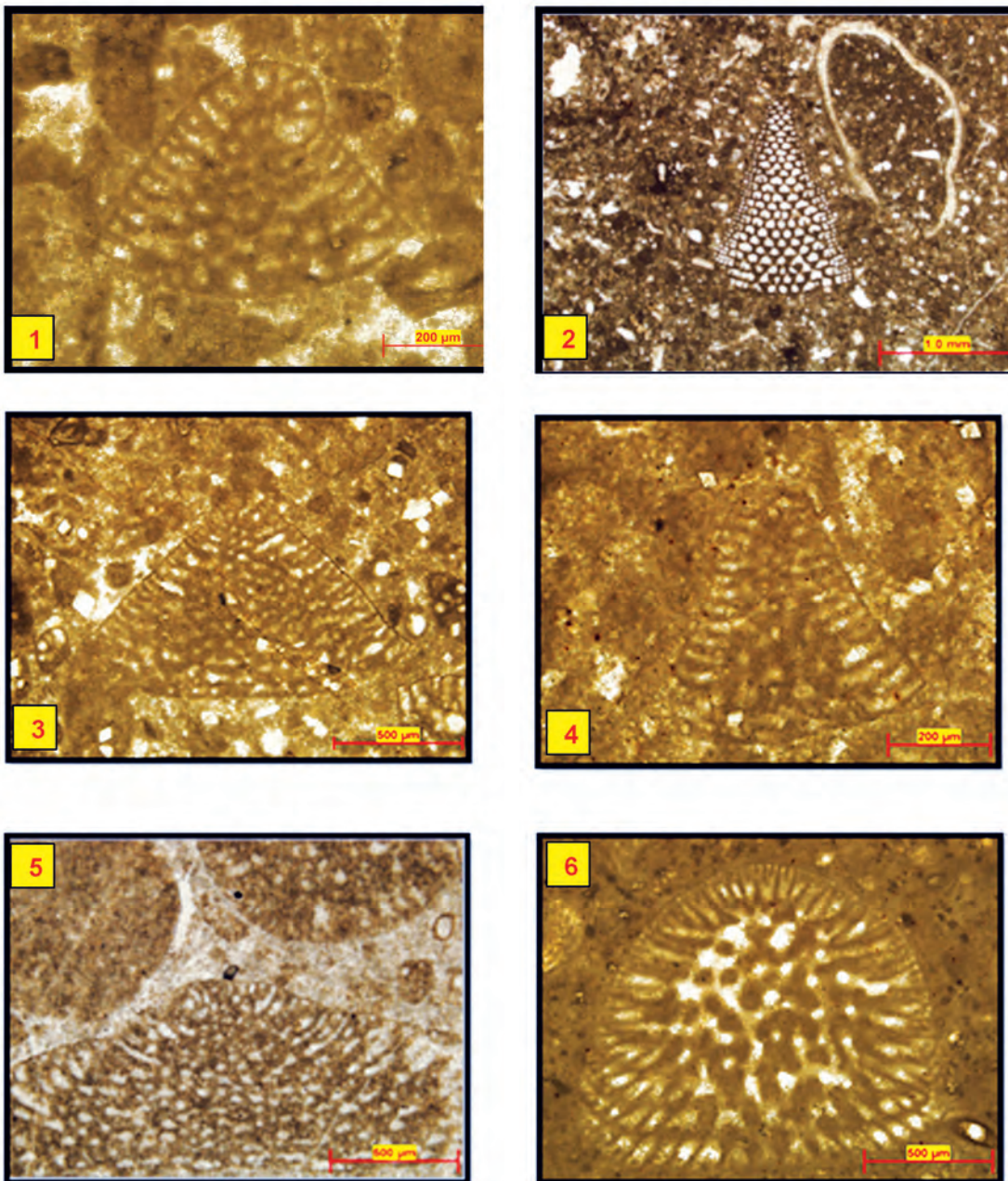


Plate 4:

- 1) *Falsurgonina Pileola* Arnaud-Venneau and Argot, 1973
- 2) *Iraqia simplex* Henson, 1948
- 3) *Orbitolinopsis subkiliani* Henson, 1948
- 4) *Orbitolinopsis elongatus* Dieni, Massari & Moullade, 1963
- 5) *Paleodictyoconus cuvillieri* Foury, 1963
- 6) *Paleodictyoconus pachymarginalis* Schroeder, 1965

Plate 5

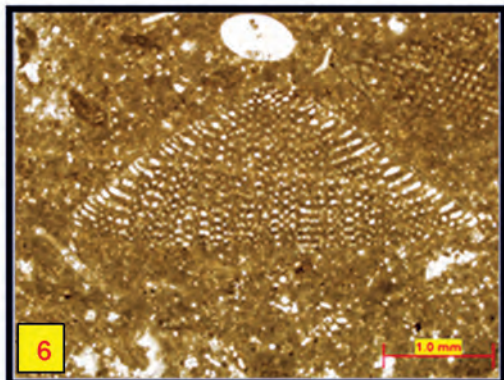
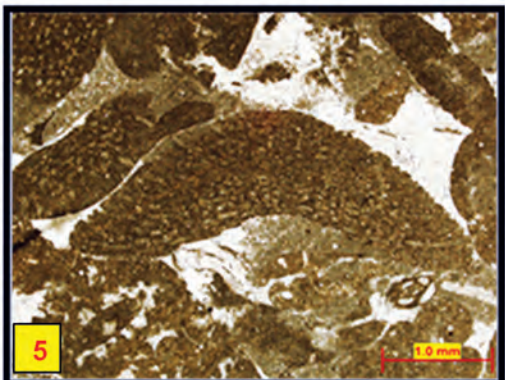
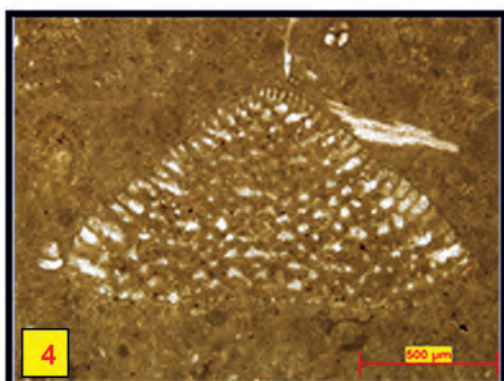
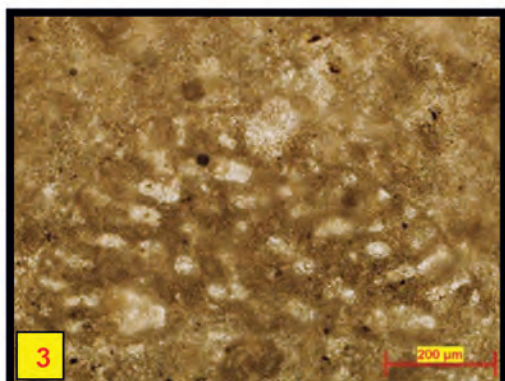
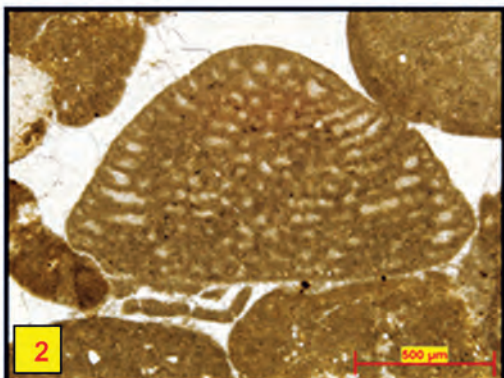
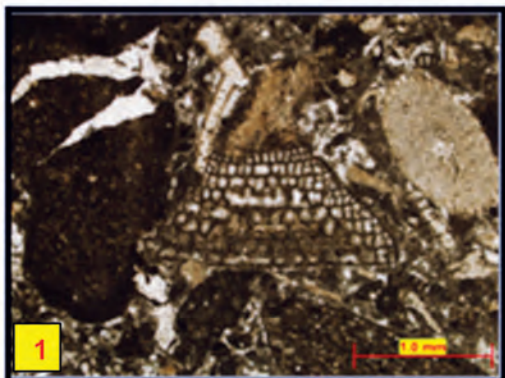


Plate 5:

- 1) *Paracoskinolina sunnilandensis* (Maync, 1955)
- 2) *Alpillina antiqua* Foury, 1968
- 3) *Eopalorbitolina charollaisi* Schroeder and Conrad, 1968
- 4) *Eyalierina turbinata* Foury, 1968
- 5,6) *Palorbitolina lenticularis* (Blumenbach, 1805)

Plate 6

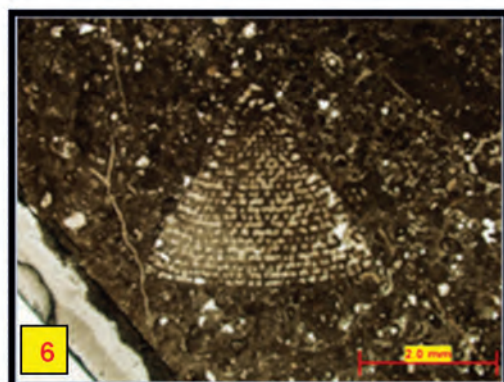
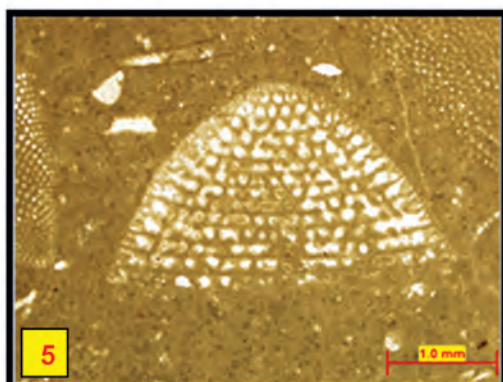
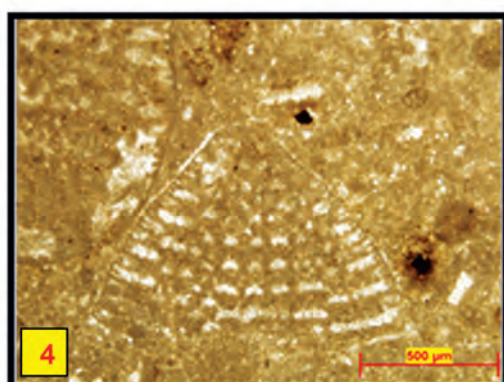
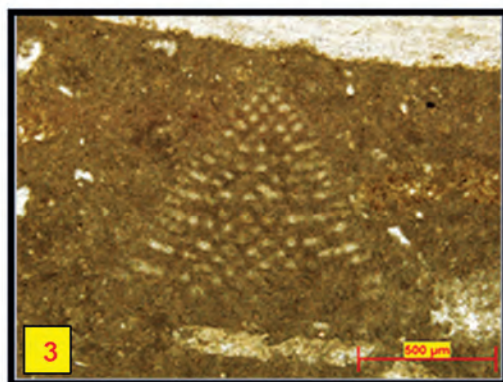
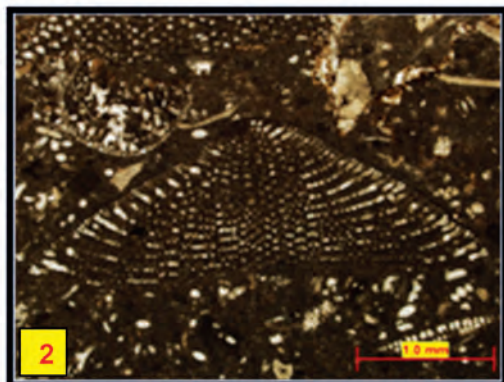
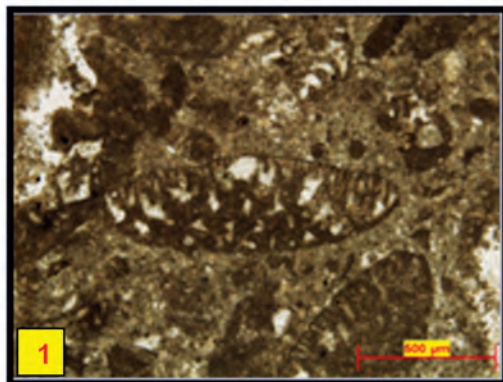


Plate 6:

- 1,2) *Palorbitolina lenticularis* (Blumenbach, 1805)
3,4) *Montseciella arabica* (Henson, 1984) Schroeder et al., 2002
5,6) *Rectodictyoconus giganteus* Schroeder, 1964

Plate 7

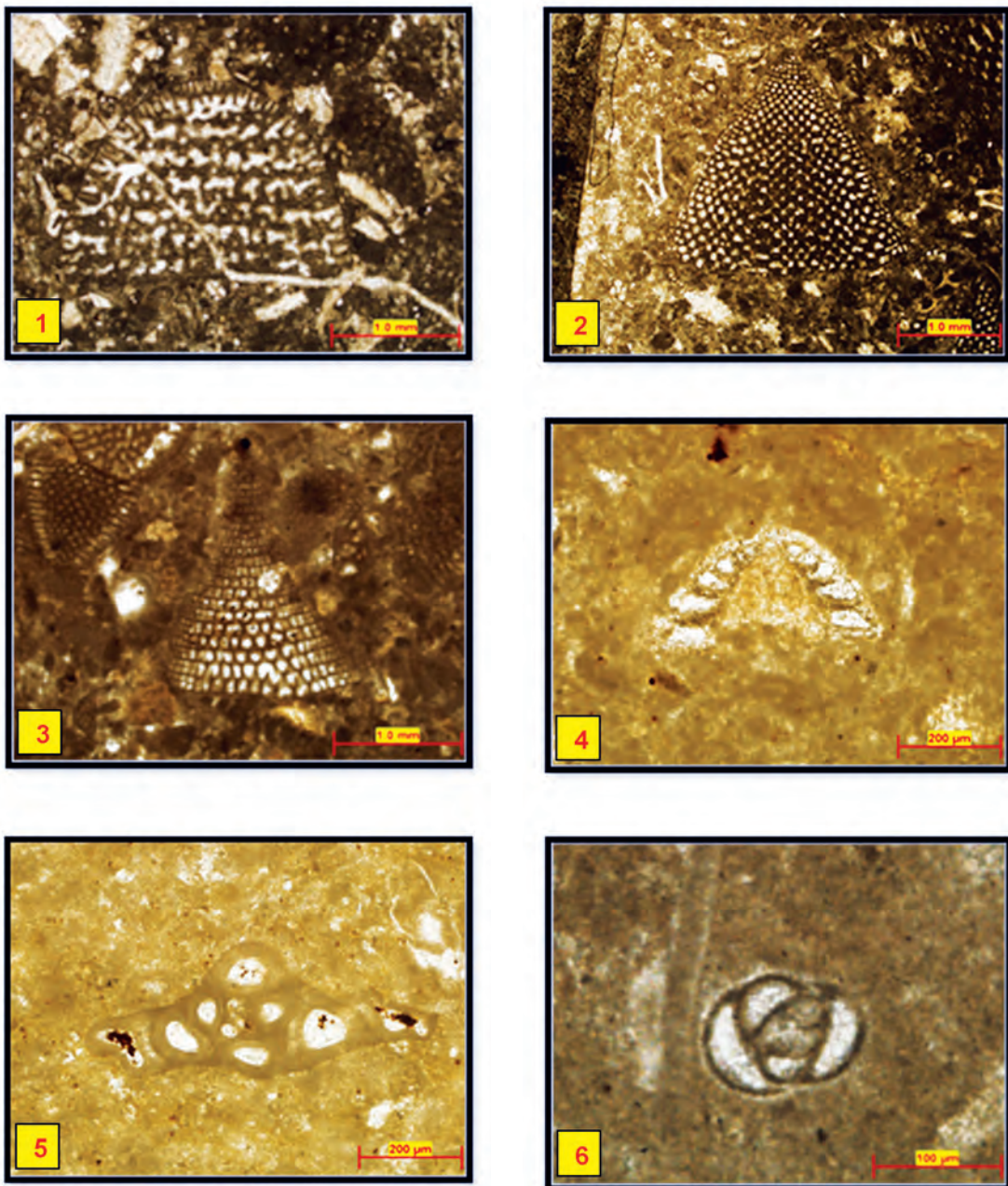


Plate 7:

- 1) *Rectodictyoconus giganteus* Schroeder, 1964
- 2,3) *Valserina broennimanni* Schroeder and Conrad, 1968
- 4) *Trocholina odukpaniensis* Dessauvagie, 1968
- 5) *Derventina filipescui* Neagu, 1968
- 6) *Istriloculina elliptica* (Iovcheva, 1962)

Plate 8

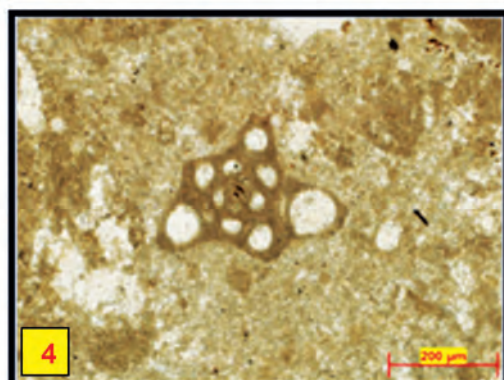
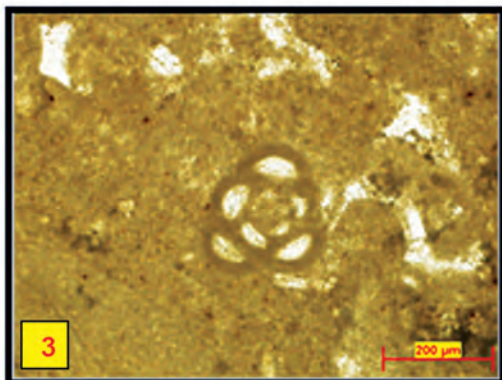
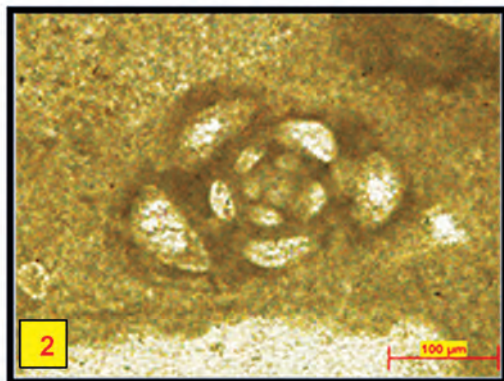
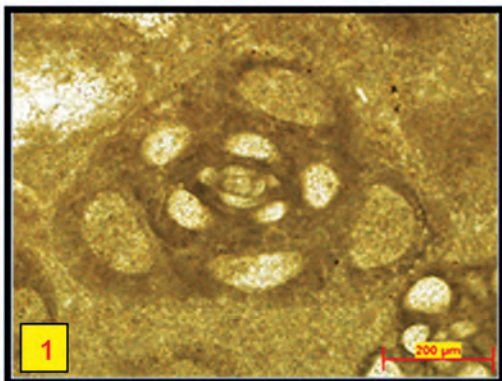


Plate 8:

- 1,2) *Rumanoloculina ponticuli*, Neagu, 1986
- 3) *Rumanoloculina robusta* Neagu, 1986
- 4) *Rumanoloculina pseudominima* (Bartenstein et Kovatcheva, 1982)